

地震時に於ける岩盤内空洞の変形

九州大学工学部 正員 小坪 清真
同 大学院 学生員○川人 達男

I. まえがき

最近 ダム地点に於ける地下発電所とか 鉄道 道路のトンネル等 岩質地中に土木構造物を建設する例が多く見受けられる。しかし 現在 これら地中構造物の耐震設計法は確立されておらず多くの問題が解決されずに残されてしまつてゐる。そこで、本研究は まず地震時に於いて岩盤内空洞周辺の変位、応力が如何に大きく乱されるかを調べてみた。

従来、覆工に作用する地震力は、もっぱら土圧論的手法で評価されてきたが、岩質地中にあるする場合には、むしろ弾性波動論的に検討する方が妥当と考えられる。本研究はその第一段階として岩質地中に素掘り矩形トンネルが存在する場合の地震時挙動を弾性論的に解析したものである。本論では地震剪断力を静的に考慮しており 数値解析には階差法を用いた。これらの結果より地震時に於ける素掘り矩形トンネル周辺の変位、応力を定量的に知ることができます。

II. 仮定

1. 岩盤は均質不等方性弾性体とする。
2. ひずみ分布は2次元とし平面ひずみ状態とする。
3. トンネル断面は正方形とする。
4. 地震波は剪断平面波であり無限に連続する正弦波形とする。従って、トンネルによりがく乱される前の地震

$$(1) \left\{ \begin{array}{l} u = \alpha \sin \omega (t - \frac{x}{c_s}) \\ w = 0 \end{array} \right.$$

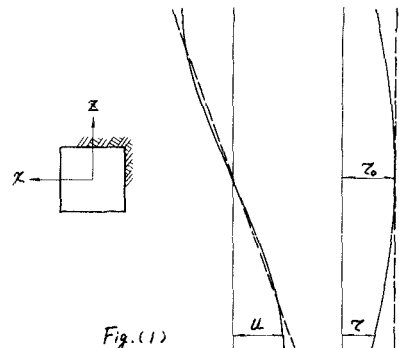


Fig.(1)

を表められる。ここで、 u , w は X , Z 座標軸方向

の変位。 α は変位振幅、 ω は波動の円振動数、 c_s は波動の伝播速度であり ラーメ定数を μ 、入とすると次のようく表められる。

$$(2) c_s = \sqrt{\frac{\mu g}{\rho}}$$

III. 弹性体の運動方程式

a). 運動方程式

連続弾性体の運動方程式は次のように表められる。

$$(3) \left\{ \begin{array}{l} \rho \frac{\partial^2 u}{\partial t^2} = (\lambda + \mu) \frac{\partial \epsilon_x}{\partial x} + \mu \nabla^2 u + X \\ \rho \frac{\partial^2 v}{\partial t^2} = (\lambda + \mu) \frac{\partial \epsilon_y}{\partial y} + \mu \nabla^2 v + Y \\ \rho \frac{\partial^2 w}{\partial t^2} = (\lambda + \mu) \frac{\partial \epsilon_z}{\partial z} + \mu \nabla^2 w + Z \end{array} \right.$$

ここで、 ρ は弾性体の密度、 X , Y , Z は X , Y , Z 座標軸方向の物体力を表めし、

$$\epsilon_x = \frac{\partial u}{\partial x} + \frac{\partial v}{\partial y} + \frac{\partial w}{\partial z}, \quad \nabla^2 = \frac{\partial^2}{\partial x^2} + \frac{\partial^2}{\partial y^2} + \frac{\partial^2}{\partial z^2}.$$

Eq.(3)は次のように表わされる。

$$(4) \begin{cases} \rho \frac{\partial^2 U}{\partial t^2} = (\lambda + 2\mu) \frac{\partial^2 U}{\partial x^2} + \mu \frac{\partial^2 U}{\partial z^2} + (\lambda + \mu) \frac{\partial^2 U}{\partial x \partial z} + X \\ \rho \frac{\partial^2 W}{\partial t^2} = (\lambda + 2\mu) \frac{\partial^2 W}{\partial z^2} + \mu \frac{\partial^2 W}{\partial x^2} + (\lambda + \mu) \frac{\partial^2 W}{\partial x \partial z} + Z \end{cases}$$

b) 不均等格子の階差表示及び β -method.

Eq.(4)の偏微分方程式に、不均等間隔の格子に適用できる階差表示とN.M.Newmarkの β -methodとを用いることにより各時刻の各格子点の運動性状を知ることができます。すずFig.(2)を参照すると各偏微分は次のように表示される。

$$\left(\frac{\partial^2 U}{\partial t^2} \right)_{(i,j)} = \frac{1}{2R_i R_{i+1}} \left\{ R_{i+1} U(i+1,t) + (R_i - R_{i+1}) U(i,t) - R_i U(i-1,t) \right\}$$

さらに2次微分は

$$\left(\frac{\partial^2 U}{\partial x^2} \right)_{(i,j)} = \frac{R_i + R_{i+1}}{2(R_i R_{i+1})^2} \left\{ R_{i+1} U(i+1,t) - (R_i + R_{i+1}) U(i,t) + R_i U(i-1,t) \right\}$$

同様にして $\left(\frac{\partial^2 W}{\partial z^2} \right)_{(i,j)}, \left(\frac{\partial^2 U}{\partial z^2} \right)_{(i,j)}$ が得られる。共役微分は次のようになる。

$$\begin{aligned} \left(\frac{\partial^2 U}{\partial x \partial z} \right)_{(i,j)} &= \frac{1}{4R_i R_{i+1} R_z R_{z+1}} \left\{ R_{i+1} R_{z+1} U(i+1,t) + R_{i+1} (R_i - R_{i+1}) U(i,t) - R_{i+1} R_z U(i+1,t-1) + R_{i+1} (R_i - R_{i+1}) U(i,t+1) \right. \\ &\quad \left. + (R_{i+1} R_z + R_z R_i - R_i R_{z+1} - R_z R_{z+1}) U(i,t) + R_i (R_{i+1} - R_i) U(i,t-1) - R_z R_{z+1} U(i-1,t) + R_z (R_{i+1} - R_i) U(i-1,t) + R_z R_i U(i,t+1) \right\} \end{aligned}$$

同様にして $\left(\frac{\partial^2 W}{\partial x \partial z} \right)_{(i,j)}$ も得られる。また β -methodによると、速度、加速度は変位の函数として次のように表わされる。

$$\left(\frac{\partial U}{\partial t} \right)_t = \left(\frac{\partial U}{\partial t} \right)_{t-\Delta t} + \frac{1}{2} \left\{ \left(\frac{\partial^2 U}{\partial t^2} \right)_{t-\Delta t} + \left(\frac{\partial^2 U}{\partial t^2} \right)_t \right\} (\Delta t)$$

$$\left(\frac{\partial^2 U}{\partial t^2} \right)_t = \frac{1}{\beta(\Delta t)^2} \left[U_t - \left\{ U_{t-\Delta t} + \left(\frac{\partial U}{\partial t} \right)_{t-\Delta t} (\Delta t) + \left(\frac{1}{2} - \beta \right) \left(\frac{\partial^2 U}{\partial t^2} \right)_{t-\Delta t} (\Delta t)^2 \right\} \right]$$

同様に $\left(\frac{\partial W}{\partial t} \right)_t, \left(\frac{\partial^2 W}{\partial t^2} \right)_t$ も求まる。ここで t は現時刻、 $t-\Delta t$ は前時刻の意である。従ってEq.(4)を不均等格子による階差表示で表わすと次のようになる。

$$\begin{aligned} & \left[\frac{\rho}{\beta(\Delta t)^2} + (\lambda + 2\mu) \frac{(R_i + R_{i+1})^2}{2(R_i R_{i+1})^2} + \mu \frac{(R_i + R_{i+1})^2}{2(R_z R_{z+1})^2} \cdot U(i,j) - (\lambda + 2\mu) \frac{R_i + R_{i+1}}{2(R_i R_{i+1})^2} \left\{ R_{i+1} U(i+1,t) + R_i U(i-1,t) \right\} \right. \\ & \quad \left. - \mu \frac{R_i + R_{i+1}}{2(R_z R_{z+1})^2} \left\{ R_{i+1} U(i,t) + R_i U(i-1,t) \right\} - \frac{(\lambda + \mu)}{4R_i R_{i+1} R_z R_{z+1}} \left\{ R_{i+1} R_{z+1} W(i+1,t) + R_{i+1} (R_i - R_{i+1}) W(i,t) - R_z R_{z+1} W(i-1,t) \right. \right. \\ & \quad \left. + R_{i+1} (R_i - R_{i+1}) W(i,t) + (R_i - R_{i+1})(R_z - R_{z+1}) W(i,t) - R_z R_{z+1} W(i-1,t) - R_z (R_i - R_{i+1}) W(i,t) \right. \\ & \quad \left. + R_i R_z W(i-1,t) \right\} = \frac{\rho}{\beta(\Delta t)^2} \left\{ U(i,j)_{t-\Delta t} + \left(\frac{\partial U}{\partial t} \right)_{(i,j)t-\Delta t} (\Delta t) + \left(\frac{1}{2} - \beta \right) \left(\frac{\partial^2 U}{\partial t^2} \right)_{(i,j)t-\Delta t} (\Delta t)^2 \right\} + X \quad (5) \right. \end{aligned}$$

$$\begin{aligned} & \left[\frac{\rho}{\beta(\Delta t)^2} + (\lambda + 2\mu) \frac{(R_i + R_{i+1})^2}{2(R_z R_{z+1})^2} + \mu \frac{(R_i + R_{i+1})^2}{2(R_z R_{z+1})^2} W(i,j) - (\lambda + 2\mu) \frac{R_i + R_{i+1}}{2(R_z R_{z+1})^2} \left\{ R_{i+1} W(i+1,t) + R_i W(i-1,t) \right\} \right. \\ & \quad \left. - \mu \frac{R_i + R_{i+1}}{2(R_z R_{z+1})^2} \left\{ R_{i+1} W(i,t) + R_i W(i-1,t) \right\} - \frac{(\lambda + \mu)}{4R_i R_{i+1} R_z R_{z+1}} \left\{ R_{i+1} R_{z+1} U(i+1,t) + R_{i+1} (R_i - R_{i+1}) U(i,t) - R_z R_{z+1} U(i-1,t) \right. \right. \\ & \quad \left. + R_i (R_i - R_{i+1}) U(i,t) + (R_i - R_{i+1})(R_z - R_{z+1}) U(i,t) - R_z (R_i - R_{i+1}) U(i-1,t) - R_z (R_i - R_{i+1}) U(i,t) \right. \\ & \quad \left. + R_i R_z U(i-1,t) \right\} = \frac{\rho}{\beta(\Delta t)^2} \left\{ W(i,j)_{t-\Delta t} + \left(\frac{\partial W}{\partial t} \right)_{(i,j)t-\Delta t} (\Delta t) + \left(\frac{1}{2} - \beta \right) \left(\frac{\partial^2 W}{\partial t^2} \right)_{(i,j)t-\Delta t} (\Delta t)^2 \right\} + Z \quad (6) \right. \end{aligned}$$

c) 応力

応力の不均等間隔格子による階差表示は次のようになる。

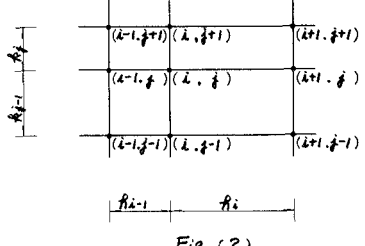


Fig.(2)

$$(7) \left\{ \begin{array}{l} \sigma_x = \frac{(\lambda + 2\mu)}{2R_i R_{i+1}} \{ R_{i-1} U(i+1,j) + (R_i - R_{i-1}) U(i,j) - R_i U(i-1,j) \} + \frac{\lambda}{2R_i R_{i+1}} \{ R_{i-1} W(i,j+1) + (R_i - R_{i-1}) W(i,j) - R_i W(i-1,j) \} \\ \sigma_z = \frac{(\lambda + 2\mu)}{2R_i R_{i+1}} \{ R_{i-1} W(i,j+1) + (R_i - R_{i-1}) W(i,j) - R_i W(i-1,j) \} + \frac{\lambda}{2R_i R_{i+1}} \{ R_{i-1} U(i+1,j) + (R_i - R_{i-1}) U(i,j) - R_i U(i-1,j) \} \\ \tau_{xz} = \frac{\mu}{2R_i R_{i+1}} \{ R_{i-1} W(i,j+1) + (R_i - R_{i-1}) W(i,j) - R_i W(i-1,j) \} + \frac{\mu}{2R_i R_{i+1}} \{ R_{i-1} U(i,j+1) + (R_i - R_{i-1}) U(i,j) - R_i U(i-1,j) \} \end{array} \right.$$

以上、運動方程式の形で表現される連続弹性体の運動方程式及び応力を不均等格子による階差表示で表わしたが、本論では慣性力の項を無視して数値計算を行つた。その根拠として、岩盤内では地震波の波長はトンネルの大きさに比較して非常に長いと考えられる。その上、変位uは正弦波形なのである時刻に於ける変位uをFig.(1)に示すように直線変位分布と仮定できるからである。即ち、この時地震剪断力 τ は次式の関係があるので一様に岩盤に作用していることになる。

$$\tau = \mu \left(\frac{\partial w}{\partial x} + \frac{\partial u}{\partial z} \right) \quad (8)$$

さうにEq.(1)にEq.(1)を代入すると次式の関係が得られる。
 $\tau = -\mu \frac{\partial w}{C_s} \cos \omega (t - \frac{z}{C_s}) \quad (9)$

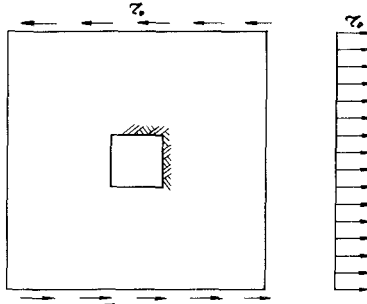


Fig.(3)

ここで問題にあるのはこの地震剪断力が最大になるとときである。そこで本論ではFig.(3)に示すように最大地震剪断力 $\tau_0 = \mu \frac{\partial w}{C_s}$ が岩盤に一様に、静的に作用している場合を考慮した。この仮定は安全側にあるので妥当であろうと考えられる。また、トンネルから十分離れた場所ではトンネルによる乱れの影響はほとんど認められないと考えられるので、本論ではトンネルの深さの2倍トンネルから離れている場所では乱れの影響はないものと仮定した。また、Fig.(3)の条件のもとでは変位、応力に対称性があるので、Fig.(4)のごとく4分の1の部分の変位、応力を求めればすべての場所の地震時変位、応力を知ることができる。次にEq.(5), Eq.(6)で慣性力の項を無視した連立差分方程式は一面に2個の境界条件式が成立すれば解けることになるので以下その境界条件を列記する。

(a) 境界条件

- AB面で変位uは0である。また応力σもAB面の上下で対称になるので0である。
- BC面では前述の仮定よりトンネルによる乱れの影響はないので変位wは0であり変位uは直線分布と仮定したのでu = $\frac{z}{H} H$ の式で与えられる。
- CD面とBC面と同じく乱れの影響はないので変位wは0であり変位uはzにHを代入して、
 $u = \frac{z}{H} H$ となる。
- DE面ではこの面の左右で変位w、及び応力σは対称になるので0である。
- EF面は大気と接している部分なのでその表面の垂直応力σ_z、及び剪断力τ_zは共に0でなければならぬ。

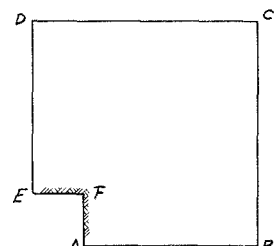


Fig.(4)

。FA面はEF面と同じく大気に接しているのでその垂直応力 σ_x 、剪断力 τ_{xy} は0である。

以上の境界条件のもとで階差表示による弾性基礎方程式を解くと所要の変位 u , v が求まる。さらに、この変位 u , v を応力の階差表示式 $Eg(f)$ に代入することにより応力 σ_x , σ_y , τ_{xy} が求まる。なお本論の数値解析例ではこのABCDEFで囲まれた部分を均等間隔の格子に分割したが、その結果格子点数が274個となりマトリックス表示による解析は大型電子計算機の限界記憶容量の関係から不可能だ、たのでiterationで求めた。

IV. 数値解析例

トンネル一辺の長さを4.20mとし、地震の強さとしては $\omega=10 \text{ cm/sec}$ を採用した。詳細は発表当日にプリントして配布します。

V. 考察

本研究は地震時に於いて岩盤内に生じる振動リトニエル周辺の変位、応力がどのようにかく乱されているかを弾性方程式に階差法を用いて繰り返し計算を実行することにより数値解析したものである。本論では慣性力の影響を全く無視して地震力を一定とする大胆な仮定のもとに数値解析を行っているが、この仮定は岩盤内の波動速度 C_s が非常に速いものであるという事、即ち岩盤中では波長が長いと考えらる事に留まっている。さうにFig(1)を参照するとよくわかるが変位 u が0の時、地震剪断力 τ_{xy} は最大となる。その時、慣性力が0となり、従ってこの時点で慣性力の影響はないのでこの仮定は全体に対してそれほど影響しないと思われる。

本論文では覆工のないトンネル周辺の変位、応力を求めたが将来はこの変位、応力が岩盤と弾性係数の異なる覆工とのような相互作用を及ぼし合うか、さらに波動論的考察を加えるか、地中構造物の耐震設計法を追求していく予定である。

* 参考文献

1. 自然科学者のための数学概論応用編 寺沢寛一編
2. 数値積分法(下巻) 曽高秀次著
3. 土木技術者のための岩盤力学 土木学会編
4. 地震力を考えて構造物設計法 岡本舜三著
5. Theory of Elasticity S. Timoshenko著
6. 岩石力学とその応用 日本材料学会編
7. 防災ハンドブック
8. 地震工学(建築構造学大系) 金井 清也著
9. 地中構造物に働く地震力に関する研究 土木学会論文集(昭.38) 岡本・加藤・伯野
建築学会学術講演梗概集(昭.43) 神谷・堤 田口
10. 階差法を用いた波動方程式の一解法